

Две задачи теории метода Монте-Карло для решения уравнений баланса в пространстве мер

Румянцев Николай Алексеевич, 522-я группа

Санкт-Петербургский Государственный Университет
Математико-механический факультет
Кафедра статистического моделирования

Научный руководитель — к.ф.-м.н. **В.В. Некруткин**
Рецензент — к.ф.-м.н. **Н.Э. Голяндина**



Санкт-Петербург
2008г.

Тематика, техника, литература. Задачи.

ТЕМАТИКА: Вероятностное решение уравнений баланса в пространстве мер.

ТЕХНИКА: (n, k) -частичные марковские скачкообразные процессы.

ЛИТЕРАТУРА: N. Golyandina and V. Nekrutkin, 1999.

- Анализ смещения и дисперсии оценок при больших n ;
- Идея введения искусственного взаимодействия.

ДВЕ ЗАДАЧИ ДИПЛОМА:

- Уточнение вида смещения при $k > 2$;
- Изучение трудоемкости алгоритмов с искусственным взаимодействием в линейных задачах.

- УРАВНЕНИЕ БАЛАНСА:

$$d\mu_t/dt = B(\mu_t) - \mu_t, \quad \mu_t|_{t=0} = \mu \in H.$$

H — распределения в (D, \mathcal{B}) , $B(\nu) \in H$ при $\nu \in H$.

Есть условия на D, B .

- ФУНКЦИОНАЛ: $\psi(\mu_t)$, $\psi \in \mathbf{C}^2(H)$.
- ПРОЦЕСС: марковский скачкообразный, n частиц движутся в D .
 - Начальное положение:
 n независимых с. в., имеющих распределение μ ;
 - Время между скачками:
показательное с $\lambda = n/k$;
 - Скачок:
 - выбор k частиц из n ;
 - эти частицы совершают скачок согласно переходной функции B_k .

РЕЗУЛЬТАТ:

- смещение и дисперсия имеют порядок $1/n$ (выбор B_k),
- коэффициенты сложные (явный вид).

Уточнение вида смещения

БЫЛО:

Главный член смещения: kc_1/n .

ПРЕДЛОЖЕНИЕ:

На самом деле: $2c_1/n + (k - 2)c_2/n$ при $k > 2$.

Замечание

- Коэффициенты сложные (явный вид);
- При $k = 2$ — то же самое;
- При $k > 2$ есть примеры, когда $c_1 \equiv c_2$ и когда $c_1 \not\equiv c_2$;
- На среднеквадратическом отклонении поправка не оказывается.

Линейная задача

ЛИНЕЙНАЯ ЗАДАЧА:

- **Линейное уравнение**

$$d\mu_t/dt = \int_D T(\cdot; u)\mu_t(du) - \mu_t = B(\mu_t) - \mu_t, \quad \mu_t|_{t=0} = \mu \in H,$$

где $T(\cdot; u) \in H$ для всех $u \in D$;

- **Линейный функционал** $J(t) = \psi(\mu_t) = \int_D g d\mu_t$, $g \in \mathbf{C}(D)$.

ИЗВЕСТНО: Если

- $\zeta(t)$ — скачкообразный марковский процесс в D ;
- начальное распределение μ ;
- инфинитезимальные характеристики $\lambda = 1$ и $T(\cdot, u)$,

то

$$\mathbb{E}g(\zeta(t)) = J(t).$$

Обратное уравнение Колмогорова.

S-процесс

ОПРЕДЕЛЕНИЕ: n независимых копий процесса $\zeta(t)$. Обозначение — S.

ОЦЕНКА: $\omega_n^{(s)} = \omega_n(g, t)$ — выборочное среднее (несмещенная).

Стандартная процедура:

ДИСПЕРСИЯ: $D(\omega_n^{(s)}) = \sigma_S^2/n$.

ДРУГОЕ ОПИСАНИЕ: совместное движение n независимых копий процесса $\zeta(t)$.

ТРУДОЕМКОСТЬ моделирования на одну частицу:

$$L_S = (t\mathfrak{I}_S + \mathfrak{I}_0) \sigma_S^2.$$

\mathfrak{I}_S — затраты на один скачок процесса;

\mathfrak{I}_0 — затраты на начальное распределение.

Альтернатива: процесс $B_\varphi^{(k)}$

ОПИСАНИЕ:

Случайная величина ω и функция $\varphi(\omega, u)$ такие, что $\mathcal{L}(\varphi(\omega, u)) = T(\cdot; u)$.

ПРОЦЕСС:

- Частота скачков: n/k ;
- Скачок:
 - (u_1, \dots, u_n) — положение перед скачком;
 - выбирается k частиц;
 - их координаты u_{i_1}, \dots, u_{i_k} изменяются по правилу $u'_{i_j} \leftarrow \varphi(\omega, u_{i_j})$.

ВАЖНО: ω одно и то же для всех частиц!

Предложение

1. Несмешенная оценка.
2. Дисперсия: $nD(\omega_n^{(\varphi)}) = \sigma_S^2 + (k-1)V_{B_\varphi}(\psi, t, \mu) + o(1)$.

$V = V_{B_\varphi}/\sigma_S^2$ — основная дисперсионная характеристика.

Процесс $B_\varphi^{(k)}$: обсуждение

СРАВНЕНИЕ:

- дисперсии: $D(\omega_n^{(s)}) \leq D(\omega_n^{(\varphi)}) \leq kD(\omega_n^{(s)})$; $(0 \leq \mathbb{V} \leq 1)$.
- число скачков: у $B_\varphi^{(k)}$ в k раз меньше;
- моделирование скачка: у $B_\varphi^{(k)}$ — дополнительные операции.

Идея: если эти операции быстрые, то трудоемкость $B_\varphi^{(k)}$ м. б. меньше, чем S .

ОТНОШЕНИЕ ТРУДОЕМКОСТЕЙ:

$$L_{B_\varphi}(k)/L_S = \frac{t\mathfrak{I}_B/k + \mathfrak{I}_0}{t\mathfrak{I}_S + \mathfrak{I}_0} \left(1 + (k-1)\mathbb{V} \right),$$

- \mathfrak{I}_B и \mathfrak{I}_S — затраты на одно столкновение для процессов.
- \mathfrak{I}_0 — затраты на начальное распределение.

Процесс $\mathbf{B}_\varphi^{(k)}$: оптимальное k

ЗАТРАТЫ (вычисляются таймированием):

- $c(\omega) = c(T)$ — моделирование ω ; $c(\lambda)$ — моделирование момента скачка;
- $c(\varphi)$ — вычисление φ ; $kc(p)$ — выбор k координат из n .

ЗАТРАТЫ НА СКАЧОК на одну частицу:

\mathbf{S} -процесс: $\Im_{\mathbf{S}} = c(T) + c(\lambda)$;

$\mathbf{B}_\varphi^{(k)}$ -процесс: $\Im_{\mathbf{B}} = c(T) + c(\lambda) + k(c(\varphi) + c(p))$.

ОПТИМАЛЬНОЕ k для $\mathbf{B}_\varphi^{(k)}$ -процесса.

$$k_{opt}^2 \approx \frac{c(T) + c(\lambda)}{c(\varphi) + c(p) + \Im_0/t} \left(\frac{1}{\mathbb{V}} - 1 \right).$$

МАКСИМАЛЬНОЕ отношение трудоемкостей: при $t \rightarrow \infty$ и $\mathbb{V} \rightarrow 0$

$$\frac{L_{\mathbf{S}}}{L_{\mathbf{B}_\varphi}(k_{opt})} \rightarrow \mathcal{C} = \frac{c(T) + c(\lambda)}{c(\varphi) + c(p)}.$$

Процесс $B_\varphi^{(k)}$: примеры

УРАВНЕНИЕ: $D = \mathbb{R}$; $T(\cdot; u) = \mathbf{N}(u, 1)$, $\mu_0 = \mathbf{N}(0, 4)$; $\mu_t = \mathbf{N}(0, t + 4)$.

ВЗАИМОДЕЙСТВИЕ: $\omega \in \mathbf{N}(0, 1)$, $\varphi(\omega, u) = \omega + u$.

ЗАТРАТЫ (моделирование): $c(\varphi) = 1$, $c(T) = 18$, $c(p) = 10$ и $c(\lambda) = 16$.

ПРИМЕРЫ.

- Функционал: $\psi_1(\mu_t(\mu)) = \int_{\mathbb{R}} u^2 \mu_t(du) = t + 4$;
- Функционал: $\psi_2(\mu_t(\mu)) = \int_{\mathbb{R}} \cos u \mu_t(du) = e^{-(1-1/\sqrt{e})t-2}$.

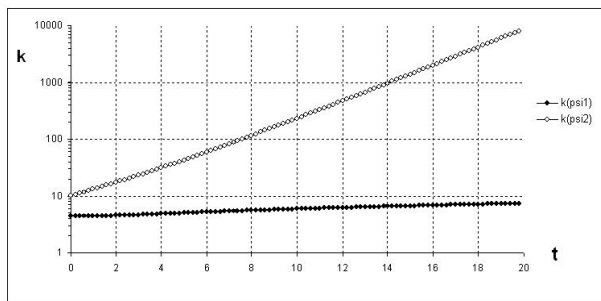
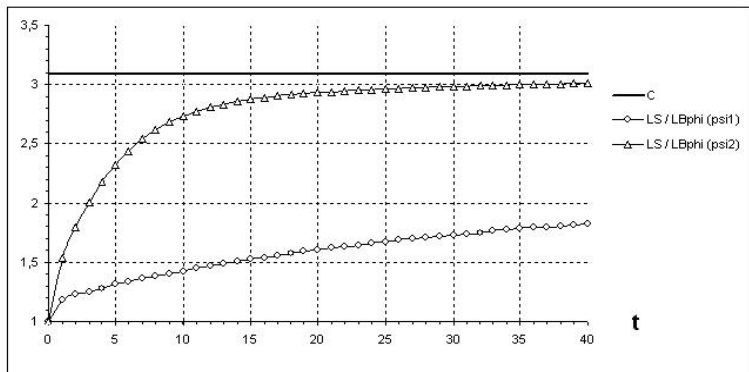


Рис.: Оптимальные k в зависимости от t (логарифмическая шкала).

Сравнение $B_\varphi^{(k)}$ и S-алгоритмов: ТеорияРис.: Отношения $L_S / L_{B\varphi}(k_{opt})$ для функционалов ψ_1 и ψ_2 .

Обе функции стремятся к $C = 34/11 \approx 3.1$.

Сравнение $B_\varphi^{(k)}$ и S-алгоритмов: Моделирование

ПРИНЦИПЫ СРАВНЕНИЯ.

Для фиксированных k и t :

- Есть аналитические формулы для обеих дисперсий $\sigma_{B_\varphi}^2$ и σ_S^2 (проверка моделированием).
- Подбор числа частиц n_{B_φ} и n_S — обратно пропорционально дисперсиям.
Формула:

$$n_{B_\varphi} = \left(1 + (k - 1)\mathbb{V}\right)n_S.$$

- N раз моделируются оба процесса.
- Сравниваются средние времена моделирования.

В экспериментах: n_S от 10^3 до 10^4 (в зависимости от k), N — от 10^4 до $2 \cdot 10^4$.

Сравнение $B_\varphi^{(k)}$ и S-алгоритмов: теория и таймирование.

ВОПРОС: насколько теоретическая трудоемкость соответствует таймированию?

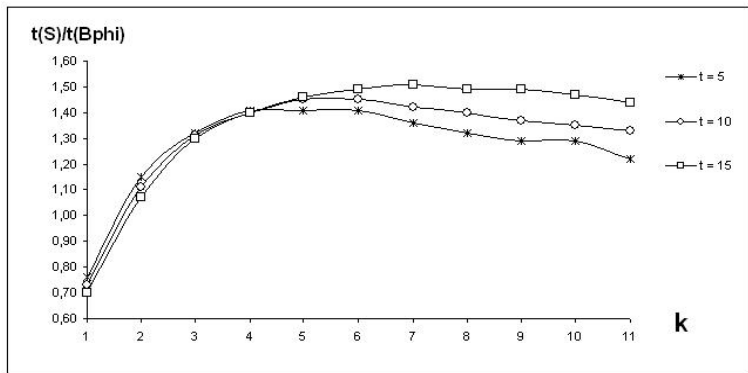
Таблица: Функционал ψ_1 . Отношение трудоемкостей и средних времен таймирования.

t	5	10	15
k_{opt}	5	6	7
L_S/L_{B_φ}	1.31	1.43	1.53
τ_S/τ_{B_φ}	1.41	1.45	1.51

Таблица: Функционал ψ_2 . Отношение трудоемкостей и средних времен таймирования.

t	3	7
k_{opt}	23	82
L_S/L_{B_φ}	2.00	2.54
τ_S/τ_{B_φ}	2.23	2.70

ВЫВОД: хорошее соответствие.

Сравнение $B_\varphi^{(k)}$ и S-алгоритмов: оптимальное k .ВОПРОС: соответствие оптимальных k Рис.: Функционал ψ_1 . Отношение $\tau_S/\tau_{B\varphi}$ при разных k .Для ψ_2 аналогично (немного похуже).

Вторая альтернатива: процесс $S_\varphi^{(k)}$. Сравнение с S и $B_\varphi^{(k)}$

ОПРЕДЕЛЕНИЕ:

- m независимых реализаций (k, k) -частичного процесса;
- у каждой скачок как у $B_\varphi^{(k)}$ -процесса.

ОЦЕНКА : выборочное среднее (несмешенная).

Преимущество над $B_\varphi^{(k)}$: Доверительные интервалы

ПРИНЦИПЫ СРАВНЕНИЯ (только таймирование).

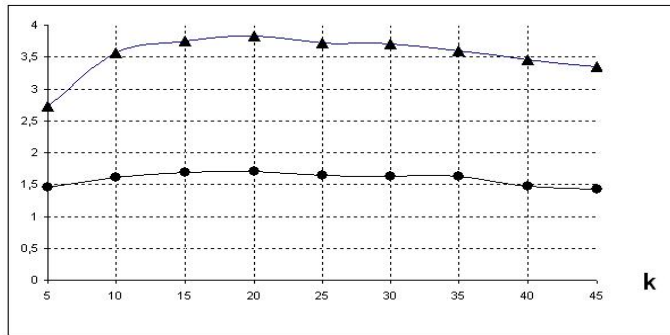
- Выбор числа частиц аналогично предыдущему;
- Для $S_\varphi^{(k)}$ замена дисперсии выборочной.

РЕЗУЛЬТАТЫ: функционал ψ_1 .

- $k_{opt}(5) = 5$, трудоемкость в 1.3 раза меньше S , совпадает с $B_\varphi^{(k)}$;
- $k_{opt}(15) = 3$, трудоемкость в 1.1 раза меньше S , в 1.5 раза больше $B_\varphi^{(k)}$.

Сравнение алгоритмов S , $B_\varphi^{(k)}$ и $S_\varphi^{(k)}$. ГрафикиРЕЗУЛЬТАТЫ: Функционал ψ_2 .

- $k_{opt}(3) = 20$, трудоемкость в 3.8 раз меньше S , в 1.7 раза меньше $B_\varphi^{(k)}$;
- $k_{opt}(7) = 30$, трудоемкость в 5 раз меньше S , в 1.5 раза меньше $B_\varphi^{(k)}$.

Рис.: Функционал ψ_2 . Отношения $\tau_S / \tau_{S_\varphi}$ (сверху) и $\tau_{B_\varphi} / \tau_{S_\varphi}$ (снизу) при $t = 3$.

Выводы

ОБЩИЙ ВЫВОД: изучались 2 процесса с искусственным взаимодействием.

Перспективность **процесса $B_\varphi^{(k)}$** для больших времен, когда

- Моделирование процесса S стоит дорого, а взаимодействия — дешево.
Формально,

$$\frac{c(T) + c(\lambda)}{c(\varphi) + c(p)} > 1.$$

- Дисперсия новой оценки не слишком большая. Формально,

$$\mathbb{V} = \frac{1}{k-1} \left(\frac{\sigma_B^2}{\sigma_S^2} - 1 \right) \quad \text{мало.}$$

Процесс $S_\varphi^{(k)}$:

- Возможность построения доверительных интервалов.
- Недостаток теории.
- Качественно похоже на $B_\varphi^{(k)}$ (эксперименты).